

УДК.518.5 + 621.3II.25

МНОГОГРУППОВОЙ РАСЧЕТ ДВУМЕРНОГО РЕАКТОРА  
В ДИФФУЗИОННОМ ПРИБЛИЖЕНИИ НА СИСТЕМЕ "МИНСК-222"

А.А. Велесько, Ю.Г. Косарев, Р.В. Юревич

I. Распределение нейтронов в реакторе в диффузионном приближении для двумерных областей  $(x,y)$  и  $(z,z)$  описывается системой уравнений:

$$-\frac{1}{\tau^\alpha} \frac{\partial}{\partial z} D_j \tau^\alpha \frac{\partial \Phi_j(z,z)}{\partial z} - \frac{\partial}{\partial z} D_j \frac{\partial \Phi_j(z,z)}{\partial z} + \sum_i \Phi_i(z,z) = F_j(z,z); \quad (1)$$

$$F_j(z,z) = \frac{\chi_j}{k_{\text{эфф}}} \cdot Q(z,z) + \sum_{i=1}^{j-1} \Sigma_{ij} \Phi_i(z,z), \quad (2)$$

$$Q(z,z) = \sum_{f=1}^G (\nu_f \Sigma_f)_j \Phi_j(z,z) \quad (3)$$

с условиями на внешней границе реактора:

$$\Phi|_\Gamma = 0. \quad (4)$$

На границах зон выполняются условия непрерывности потока

$$\Phi_j(z,z) \text{ и тока } D_j \frac{d\Phi_j(z,z)}{dn},$$

где  $D_j$ ,  $\Sigma_j$ ,  $(\nu_f \Sigma_f)_j$ ,  $\Sigma_{ij}$  – кусочно-постоянные функции;  
 $\Gamma$  – контур, ограничивающий рассматриваемую область (прямоугольник);

$G$  – число энергетических групп ( $G \leq 10$ );

$j$  – номер группы;

$\chi_j$  – доля нейтронов спектра деления в группе  $j$ ;

$\Phi_j$  – функция распределения нейтронов в  $j$ -ой группе;

$n$  – направление нормали к границе раздела двух зон;

$$\alpha = \begin{cases} 0 & \text{для геометрии } (x,y); \\ 1 & \text{для геометрии } (z,z). \end{cases}$$

Задача заключается в нахождении первого собственного числа ( $I/K_{\text{эфф}}$ ) и собственной функции ( $\phi_j$ ) системы уравнений (1), (2), (3), (4). Она решается методом итерации источников [1].

2. Введем разностную сеть так, чтобы линии сетки совпадали с границами зон (предполагается, что границы зон параллельны осям). Шаги сетки могут меняться от зоны к зоне (рис. I).

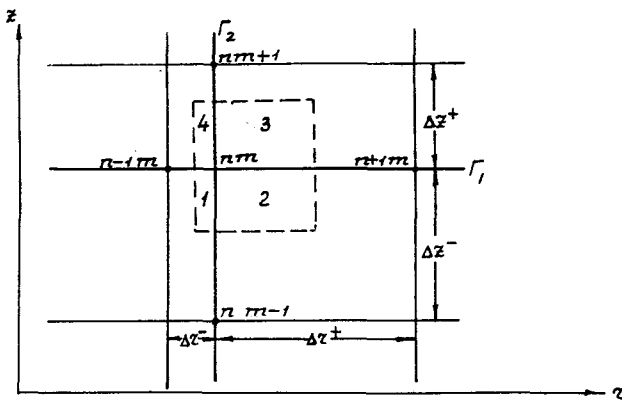


Рис. I.  $\Gamma_1, \Gamma_2$  – границы зон.

Уравнения (1) – (4) заменяют системой конечно-разностных уравнений:

$$-S_{nmj} \phi_{nmj} + a_{nmj} \phi_{n,m+1,j} + b_{nmj} \phi_{n,m-1,j} + c_{nmj} \phi_{n+1,mj} + d_{nmj} \phi_{n-1,mj} + L_{nmj} = 0.$$

Эта система решается методом последовательной верхней релаксации [2]:

$$\begin{aligned} \phi_{nmj}^{P+1,q} &= (1-\omega) \phi_{nmj}^{Pq} + \frac{\omega}{S_{nmj}} \left[ a_{nmj} \phi_{n,m+1,j}^{P+1,q} + \right. \\ &\quad \left. + b_{nmj} \phi_{n,m-1,j}^{Pq} + c_{nmj} \phi_{n+1,mj}^{Pq} + d_{nmj} \phi_{n-1,mj}^{P+1,q} + L_{nmj}^{q-1} \right], \end{aligned} \quad (5)$$

где

$$a_{nmj} = \frac{D_j^3 (\Delta z^+) (\tau_n + \frac{\Delta \tau^+}{4}) + D_j^4 (\Delta z^-) (\tau_n - \frac{\Delta \tau^-}{4})}{2 \Delta z^+}$$

$$b_{nmj} = \frac{D_j^1 (\Delta z^-) (\tau_n - \frac{\Delta \tau^-}{4}) + D_j^2 (\Delta z^+) (\tau_n + \frac{\Delta \tau^+}{4})}{2 \Delta z^-}$$

$$c_{nmj} = \frac{(\tau + \frac{\Delta \tau^+}{2}) (D_j^2 \Delta z^- + D_j^3 \Delta z^+)}{2 \Delta z^+}$$

$$d_{nmj} = \frac{(\tau - \frac{\Delta \tau^-}{2}) (D_j^1 \Delta z^- + D_j^4 \Delta z^+)}{2 \Delta z^-} \quad (6)$$

$$\begin{aligned} S_{nmj} &= a_{nmj} + b_{nmj} + c_{nmj} + d_{nmj} + \\ &+ \frac{1}{4} \left[ \sum_j^1 (\Delta z^-) (\Delta z^-) (\tau_n - \frac{\Delta \tau^-}{4}) + \sum_j^2 (\Delta z^+) (\Delta z^-) (\tau_n + \frac{\Delta \tau^+}{4}) + \right. \\ &\quad \left. + \sum_j^3 (\Delta z^+) (\Delta z^+) (\tau_n + \frac{\Delta \tau^+}{4}) + \sum_j^4 (\Delta z^-) (\Delta z^+) (\tau_n - \frac{\Delta \tau^-}{4}) \right]; \end{aligned} \quad (7)$$

$$\Sigma_j = \sum_j^1 + \alpha^2 D.$$

$\rho$  – номер внутренних итераций потока,

$q$  – номер итераций по источникам.

Выражение  $\alpha^2 D$  учитывает вклад от геометрического параметра, когда при расчете трехмерных систем переменные разделяются. В геометрии  $(\tau, z)$   $\alpha^2 = 0$ .

Уравнения (2) запишем в виде:

$$\begin{aligned} L_{nmj}^q &= \sum_{i=1}^{j-1} \left\{ \phi_{nmj}^q \left[ \sum_{ij}^1 (\Delta z^-) (\Delta z^-) (\tau_n - \frac{\Delta \tau^-}{4}) + \right. \right. \\ &\quad \left. + \sum_{ij}^2 (\Delta z^+) (\Delta z^-) (\tau_n + \frac{\Delta \tau^+}{4}) + \sum_{ij}^3 (\Delta z^+) (\Delta z^+) (\tau_n - \frac{\Delta \tau^-}{4}) + \right. \\ &\quad \left. \left. + \sum_{ij}^4 (\Delta z^-) (\Delta z^+) (\tau_n - \frac{\Delta \tau^-}{4}) \right] \right\}; \end{aligned} \quad (8)$$

$$\begin{aligned} Q_{nm}^q &= \sum_{j=1}^G \left\{ \phi_{nmj}^q \left[ (\nu_f \Sigma_f)_j^1 (\Delta z^-) (\Delta z^-) (\tau_n - \frac{\Delta \tau^-}{4}) + \right. \right. \\ &\quad \left. + (\nu_f \Sigma_f)_j^2 (\Delta z^+) (\Delta z^-) (\tau_n + \frac{\Delta \tau^+}{4}) + (\nu_f \Sigma_f)_j^3 (\Delta z^+) (\Delta z^+) (\tau_n + \frac{\Delta \tau^+}{4}) + \right. \\ &\quad \left. \left. + (\nu_f \Sigma_f)_j^4 (\Delta z^-) (\Delta z^+) (\tau_n - \frac{\Delta \tau^-}{4}) \right] \right\}. \end{aligned} \quad (9)$$

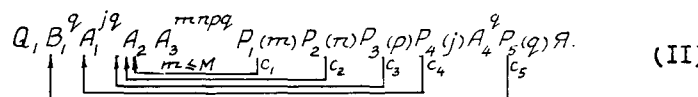
Граничные условия (4) запишем в виде:

$$\phi_{1m} = \phi_{Nm} = \phi_n = \phi_{nm} = 0, \quad (10)$$

$$K_{\text{эфф}} = \frac{Q_{nm}}{Q_{nm}^{q-1}}.$$

Соответствующая схема алгоритма, составленная применительно

но к ЭВМ "Минск-2" может быть записана в виде следующей строчки:



где оператор  $Q$  - вычисляет начальные потоки и источники, многогрупповые константы, формирует нужные команды в программе:

$B$  - восстанавливает программу для счета новой итерации по  $q$ ;

$A_1^q$  - считает по формулам (8), (9);

$A_2$  - считает константы (6), (7);

$A_3^{mpq}$  считает по формуле (5);

$P_1(m), P_2(n), P_3(p), P_4(j), P_5(q)$  - управляют циклами по параметрам, указанным в скобках;

$A_4^q$  - считает  $K_{\text{эфф}}$ ;

$Я$  - печатает результаты, останов.

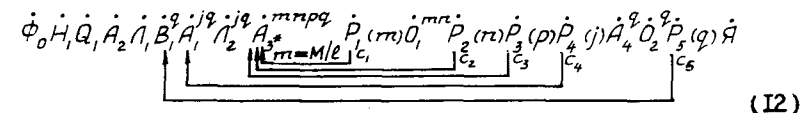
Одна из типичных реакторных задач - определение критичности и изменения изотопного состава физических сред со временем (расчет реактора на кампанию). Это значит, что нужно решать систему (I) - (4) с переменными коэффициентами по времени. Для этого разбивают временной интервал на некоторое число шагов, считая, что в пределах каждого временного интервала постоянны или  $\phi_{nmj}$ , или  $Q(z, z)$ . В этом предположении на каждом временном шаге пересчитываются  $D_j \sum_i \sum_{ij} (\Sigma_f \psi)_j$  и решается задача (I) - (4), т.е. счет по схеме (II) повторяется столько раз, сколько временных шагов.

Время счета по схеме зависит от числа расчетных точек ( $MN$ ), числа групп  $G$  и зон. Например, расчет варианта при  $G=3, MN=400$  потребовал 4 часа машинного времени. Таким образом, расчет реактора на кампанию при типичном числе шагов - 10 потребовал бы 40 часов машинного времени, что практически не позволяет решать такую задачу на машине "Минск-2". Рассматривая операторную схему, видим, что основную часть времени занимает счет внутреннего цикла  $c_1$ . Заметим, что включение в цикл  $c_1$  оператора  $A_2$  объясняется отсутствием места в оперативной памяти для запоминания коэффициентов (6), (7).

3. Схема параллельного алгоритма строится из схемы (II) по методике, приведенной в [3]. Распараллеливание ведется по циклу  $c_1$ . Каждой из ветвей соответствует  $\frac{MN}{\ell}$  точек, где  $\ell$  - число машин. Пример разбиения для  $\ell=2$  приведен на рис. 2. Константы распределяются между машинами соответственно точкам, неко-

торые из них дублируются (константы зон 3, 4, 5 на рис. 2).

Соответствующая схема  $\rho$ -алгоритма имеет вид:



Функции операторов следующие:

$\phi_0$  - формирует программу по параметрам задачи и системы;

$H$  - засыпает в регистры настройки всех машин код ОИО;

$A_1^q, A_2^q$  - записывает и считывает с магнитной ленты коэффициенты (5), (6);

$\dot{O}_1^m$  - пересыпает значение потока в точке, лежащей на линии раздела области между ЭВМ, в машину, с номером на единицу больше (см. рис. 2);

$\dot{O}_2^q$  - поочередно, пересыпает из каждой машины во все остальные величины погрешности определения  $k_{\text{эфф}}$ .

Остальные  $\rho$ -операторы состоят из  $\ell$  одноименных с ними операторов схемы (II).

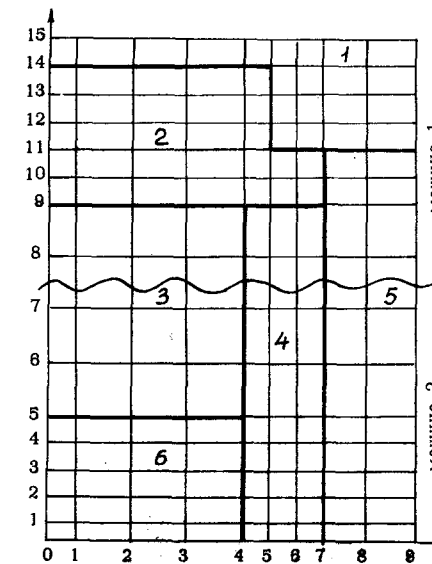


Рис.2. 1-6 - номера зон.  $M=15$ .  $N=9$ . Точки линий  $z=7, 8$  дублируются в двух машинах.

В схеме  $\rho$ -алгоритма счет внутреннего цикла ( $m=1$ ) начинает первая машина. Вторая машина начинает работать, запаздывая на время счета  $M/\ell$  точек, третья - на  $2M/\ell$  и т. д. Далее счет идет параллельно во всех машинах. Относительный простой каждой из  $\ell$  машин составляет примерно  $1/N \cdot \rho$ . При счете варианта для  $N=25$  простой машин, определенный, с помощью программы [4], оказался менее 2%. Это позволяет полагать, что система из  $\ell$  машин считает в  $\ell$  раз быстрее одной машины.

Более существенный выигрыш получается из-за вынесения оператора  $A_2$  из внутреннего цикла  $c_1$ . Это стало возможным из-за того, что суммарный объем оперативной па-

мяти системы позволяет хранить константы (6), (7) для фиксированного  $j$ . При этом оказалось целесообразным преобразовать формулу (5)

$$\begin{aligned}\phi_{nmj}^{pq} = & \omega' \phi_{nmj}^{pq} + L_{nmj}^{q-1} + \alpha'_{nmj} \left\{ \phi_{n+1,mj}^{pq} + \right. \\ & \left. + \frac{\beta'_{nmj}}{\alpha'_{nmj}} \left[ \phi_{nm-1}^{pq} + \frac{c'_{nmj}}{\beta'_{nmj}} \left( \phi_{n+1,mj}^{pq} + \frac{d'_{nmj}}{c'_{nmj}} \phi_{n-1,mj}^{pq} \right) \right] \right\} \quad (I3)\end{aligned}$$

где

$$\omega' = 1 - \omega \quad C'_{nmj} = C_{nmj} \cdot S'_{nmj}$$

$$\alpha'_{nmj} = \alpha_{nmj} \cdot S'_{nmj} \quad d'_{nmj} = d_{nmj} \cdot S'_{nmj}$$

$$\beta'_{nmj} = \beta_{nmj} \cdot S'_{nmj} \quad L'_{nmj}^{q-1} = L_{nmj}^{q-1} \cdot S'_{nmj} \quad (I4)$$

$$S'_{nmj} = \frac{\omega}{S_{nmj}} \quad (I5)$$

и запоминать вместо коэффициентов (6), (7) коэффициенты (I4), (I5).

Выигрыш во времени счета по этой причине равен

$$\begin{aligned}\frac{K(A_2, A_3) \cdot M \cdot N \cdot \bar{P} \cdot G \cdot \bar{Q} + K(A_1)G\bar{Q} + K(A_4) \cdot \bar{Q}}{K(A_3) \cdot M \cdot N \cdot \bar{P} \cdot G \cdot \bar{Q} + K(A_1)G\bar{Q} + K(A_4) \cdot \bar{Q} + K(\Pi_2)G \cdot \bar{Q}} = \\ = \frac{K(A_2, A_3) + \frac{1}{MN\bar{P}} K(A_1) + \frac{1}{MN\bar{P}G} K(A_4)}{K(A_3) + \frac{1}{MN\bar{P}} K(A_1) + \frac{1}{MN\bar{P}G} K(A_4) + \frac{1}{MN\bar{P}} K(\Pi_2)} = \\ = \frac{49 + 4 + 3}{71 + 4 + 3 + 1} \approx 3.\end{aligned}$$

Здесь  $K(A_i)$  – число операций, затрачиваемого на выполнение оператора  $A_i$ ,  $\bar{P}$  и  $\bar{Q}$  – среднее число повторений циклов  $C_3$  и  $C_5$ .

Суммарный выигрыш счета задачи на системе по сравнению с одной машиной получается равным примерно 3 $\ell$ . При счете конкретного варианта для 675 точек на одной машине и на системе из двух машин система считает в 5,7 раз быстрее.

При  $\ell = 2$  можно считать число точек  $MN = 1000$ . На системе из  $\ell$  машин число точек может быть увеличено в  $\ell/2$  раз. Время счета при этом остается примерно тем же.

4. Программы, составленные для двух машин "Минск-22", отличаются лишь одной ячейкой I7677, где в первой машине – 0000 0000 0000, а во второй – 0000 0004 0000.

Программа состоит из 3 частей. Вторая и третья части вызываются с магнитной ленты в процессе счета. При работе этой программы на каждой машине используется 4 магнитные ленты.

Часть I печатает и переводит входные данные, формирует константы и команды, зависящие от  $M, N, G, j$  и записывает начальные потоки на магнитную ленту.

Часть II считает коэффициенты конечно-разностных уравнений, не зависящие от  $\phi_{nmj}$ , и записывает их на магнитные ленты.

Часть III вычисляет потоки по группам,  $K_{\text{эфф}}$  и  $Q_{\text{тепл}}$

Общий объем программы 1050 ячеек, из них 50 ячеек связано с работой системы.

## Л и т е р а т у р а

1. Г.И. Марчук. Численные методы расчета ядерных реакторов. Атомиздат, М., 1958.
2. Ward C. Sangren. Two and Three-dimensional Multigroup Difference Equations. – Digital Computers and Nuclear Reactor Calculations, Inc. Publishers, 1960, 208 p.
3. Ю.Г. Косарев. Распараллеливание по циклам. – "Вычислительные системы", Новосибирск, Изд-во "Наука", Сибирское отделение, 1967, вып. 24, стр. 3.
4. Ю.И. Колосова, В.А. Казуцки, Ю.Г. Косарев. Измерение временных характеристик программ системы – Данный сборник, стр. 55-62.

Поступила в редакцию  
15.5.1967 г.